

6063 合金位相制御摩擦圧接継手の機械的性質に及ぼす素材形状の影響

日大生産工(院) ○武田 宗一郎
日大生産工 時末 光 加藤 数良

1. 緒 言

摩擦圧接は異種材料の接合が可能であり、再現性も良いことから自動車工業を始めとした多くの産業分野で利用されている。しかし、その接合方式から円形断面を持つ素材の接合が主であり、矩形断面を持つ素材に適用されることはないなどなかった。近年、位相制御可能な数値制御摩擦圧接機が開発され、異形断面形状に関するいくつかの研究報告がある¹⁾。矩形断面を持つ素材を組合せた場合、回転摩擦を与える際に常時摩擦される部分と断続的に摩擦される角部では、ばりの発生状況などの圧接現象に相違が生じるものと推測される。

本研究では、6063 アルミニウム合金角材を用いて位相制御摩擦圧接を行い、得られた継手の組織と機械的性質を検討した。

2. 供試材および実験方法

供試材には、市販の6063アルミニウム合金角材($\square 25\text{ mm}$, $\sigma_B=177\text{ MPa}$, $\lambda=15.2\%$, $HV=78.5$)を長さ80mmに機械加工したもの(以後、角材と称す)を用いた。また、ばりの発生機構などを検討するために角材にFig.1に示す溝加工を行ったもの(以後、溝付材と称す)も合せて試験した。

圧接には位相制御可能な数値制御全自動摩擦圧接機を使用し、圧接条件は主軸回転数N=25s⁻¹、摩擦圧力P₁=20MPa、摩擦時間t₁=1.5s~3.0s、アプセット圧力P₂=40~80MPa、アプセット時間t₂=5sとした。各圧力は角材の内接円により設定した。位相制御にはブレーキとモータを併用する方式を用いた。

継手の外観および組織観察、硬さ試験、引張試験を行った。引張試験片は、角材では接合面をゲージ部中央とした厚さ4mmのJIS13B試験片、溝付材ではFig.2に示す形状の試験片をそれぞれFig.1に示した部分より採取した。

3. 実験結果および考察

Fig.3に継手の外観および継手中心部の巨視的組織を示す。継手のばりは、素材形状に関係なく角部からの発生は認められず、辺の部分から発生した。回転側のばりは回転方向と逆側に、固定側のばりは回転方向に偏る傾向

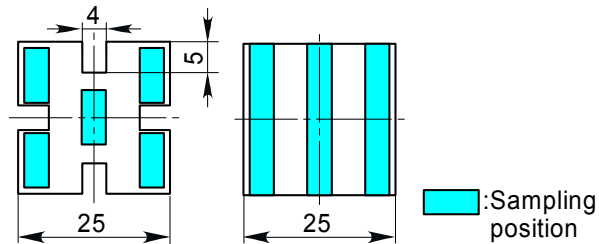


Fig.1 Shape of grooved bar and sampling positions of tensile test specimen.

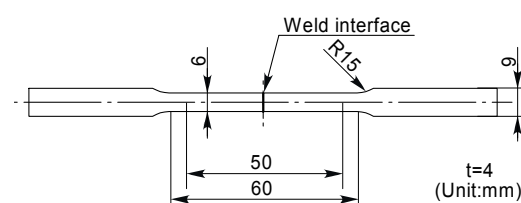


Fig.2 Shape and size of tensile test specimen for grooved joint.

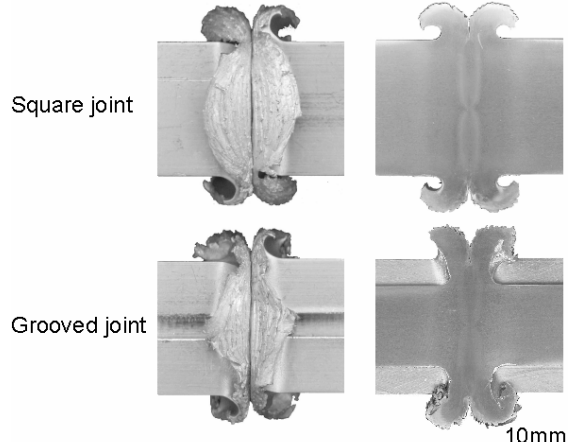


Fig.3 Macrostructures of joint. (Friction time: 2.5s)

が認められた。この現象は溝付材を用いた継手に明瞭であった。また、同一圧接条件では溝付材に比較して角材のばりが大きくなつた。このことは、常時摩擦されている部分の面積の相違による発熱量の差が要因の一つであると考える。

巨視的組織で、溝付材継手のばりの大きさが回転側と固定側で異なるのはばりの偏りによるためである。両継手ともに接合部近傍に熱影響と変質部が観察された。この変質部は軸

心近傍で最も狭く、外周部に近づくのに伴い広くなる傾向を示した。さらにその外側に接合界面に平行な熱影響部が観察された。この様相は他の条件においても同様に認められた。

Fig.4 に溝付材のばりを削除した継手表面の巨視的組織を示す。図中に矢印で示した角部はばりの排出方向に変形し、変形量の多い場合は接合面が食違った状態となった部分にはばりが入り込んだ状態であった。アプセット圧力を大きくすることにより未接合部分は減少したが完全には消滅しなかった。

Fig.5 に継手各部の硬さ分布を示す。継手の硬さ分布は素材形状による差異は少なかった。このため、図には角材継手の測定結果を示した。接合面および熱影響部では軟化が認められ、いずれの測定場所も接合面より約 10 mm で母材硬度となった。接合面の硬さは軸心および外周部は同程度の値を示したが、角部は若干高い値であった。最軟化部の硬さは外周部が最も小さく、次いで軸心、角部の順に大きくなかった。このことは、軸心部では高温となった部分がばりとして排出されるために熱影響が少なく、外周部は排出されたばりにより保温状態となるために軟化が大きくなったものと考える。また、角部ではばりの発生はほとんどなく、ばりによる熱影響が少なく軟化割合も小さかったものと推定する。継手の硬さ分布は、摩擦時間の長短により軟化域の幅および最軟化部の硬さに若干の差異が認められる程度であった。

Fig.6 に引張試験結果を示す。引張強さは、角材継手では試験片採取位置および摩擦時間の違いによる差異はほとんどなく、試験片の破断は全て熱影響部であり、母材の約 80% の値が得られた。溝付継手の中心部は角材継手と同等の引張強さを示し、摩擦時間の違いによる差異もほとんど認められなかった。しかし、角部の引張強さは中心部より低下し、摩擦時間 2.5 s で最高値を示した。また、溝付継手の破断は中心部の試験片は熱影響部であったが、角部の試験片は接合界面のごく近傍で破断する試験片が多かった。このことは、各辺より発生したばりの偏りに伴う素材の変形に起因するものと考える。

Fig.7 に溝付材継手の強度向上の一方法としてアプセット圧力を変化させた継手の角部より採取した試験片の引張試験結果を示す。前述したようにアプセット圧力が 40 MPa では時間の長短による引張強さに差が認められたが、アプセット圧力が 60 MPa 以上では摩擦時間の長短による差異はほとんど認められず一定とな

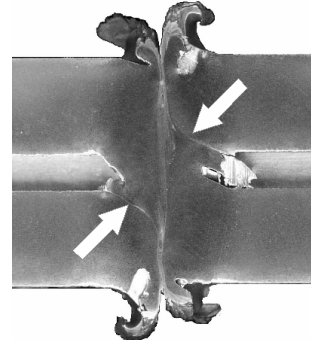


Fig.4 Macrostructure of surface of grooved joint.
(Friction time: 2.5s)

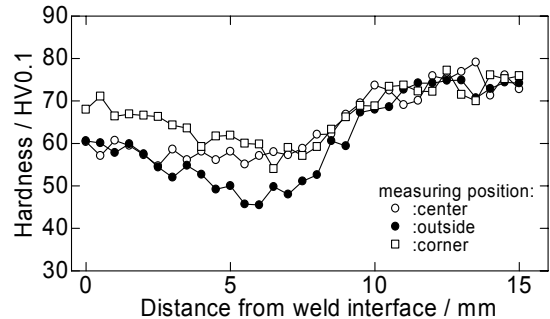


Fig.5 Hardness distributions of square joint.
(Friction time: 2.5s)

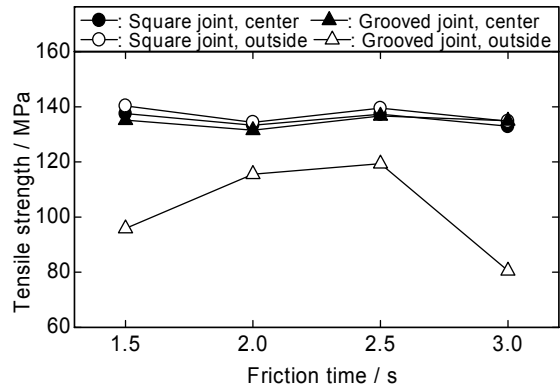


Fig.6 Results of tensile test. ($P_2=40\text{ MPa}$)

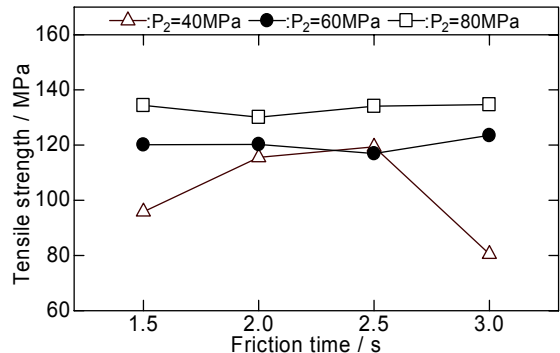


Fig.7 Results of tensile test for outside of grooved joint.

り、アプセット圧力の増加に伴い引張強さは高くなる傾向を示し、アプセット圧力 80 MPa では中心部と同等の値が得られた。

参考文献

- 1) 例えば、竹上弘彰、篠田剛：軽金属、52(2002), 580.